

بِسْمِ اللَّهِ الرَّحْمَنِ الرَّحِيمِ



دانشگاه صنعتی اصفهان

دانشکده برق و کامپیوتر

پراکندگی معکوس از اجسام دی الکتریک و هادی بر اساس بازسازی زیرفضای غیرشعشعی

پایان نامه کارشناسی ارشد مهندسی برق- مخابرات میدان

حمیدرضا صیام پور

استاد راهنما

دکتر ابوالقاسم زیدآبادی نژاد



دانشگاه صنعتی اصفهان

دانشکده برق و کامپیوتر

پایان نامه کارشناسی ارشد مهندسی برق- مخابرات میدان آقای

حمیدرضا صیام پور

تحت عنوان

پوکندگی معکوس از اجسام دی الکتریک و هادی بر اساس بازسازی زیرفضای غیر تشعشعی

در تاریخ ۱۳۹۰/۶/۲۶ توسط کمیته تخصصی زیر مورد بررسی و تصویب نهایی قرار گرفت.

دکتر ابوالقاسم زیدآبادی نژاد

۱- استاد راهنمای پایان نامه

دکتر امیر بر جی

۲- استاد مشاور پایان نامه

دکتر امیر بر جی

سرپرست تحصیلات تکمیلی دانشکده

قدردانی و تشکر

از این جهت که فرمود : «**أَشْكُرُ حُمْلَهٗ أَشْكُرُ حُمْلَفَاس**» بر خود لازم می دانم از کلیه کسانی که مرا تا سرانجام این مقطع یاری نموده اند تشکر کنم. به ویژه از زحمات والدینم، از راهنمایی جناب دکتر ابوالقاسم زیدآبادی نژاد و مشاوره جناب دکتر امیر برجی در مراحل انجام پایان‌نامه، و از همکاری کلیه اساتید و کارمندان دانشکده برق و کامپیووتر دانشگاه صنعتی اصفهان قدردانی می کنم.

کلیه حقوق مادی مترتب بر نتایج مطالعات،

ابتكارات و نوآوریهای ناشی از تحقیق موضوع

این پایان‌نامه متعلق به دانشگاه صنعتی اصفهان است.

این پایان‌نامه با حمایت مادی و معنوی مرکز تحقیقات مخابرات ایران

به انجام رسیده است.

تقدیم اثر

از این جهت که فرمود : «أَنْ أَشْكُرْ لِيَ وَلِوَالِدَيْتَ» (قمان-۱۴)

این پایان نامه به والدینم تقدیم می شود.

فهرست مطالب

صفحه	عنوان
	فهرست مطالب
۱	هشت چکیده.....
	فصل اول: مقدمه
۲	۱ ۴ - تاریخچه.....
۳	۱ ۴ - ساختار پایان نامه.....
	فصل دوم: منابع غیر تشعشعی
۵	۵ ۴ - پیشگفتار فصل.....
۵	۵ ۲ - شرط NR.....
۶	۶ ۴ - عدم یکتایی در مسائل معکوس.....
۶	۶ ۲ - توان راکتیو و کارایی تشعشعی آتن.....
۷	۷ ۲ - تصویربرداری از لبه نوک تیز.....
۷	۷ ۲ - پوشش لایه دار.....
۸	۸ ۴ - خلاصه و نتیجه گیری.....
	فصل سوم: روش SQP-SOM برای حل مسائل پراکندگی معکوس
۹	۹ ۴ - پیشگفتار فصل.....
۱۰	۱۰ ۴ - پراکنده ساز های دی الکتریک در فضای آزاد.....
۱۰	۱۰ ۴ ۴ - بیان مسئله.....
۱۱	۱۱ ۴ ۴ - تحلیل طیفی \bar{G}_S به روش SVD.....
۱۲	۱۲ ۴ ۴ - تعیین ضرایب NR.....
۱۲	۱۲ ۴ ۴ - تابع هدف.....
۱۳	۱۳ ۴ ۵ - تابع هدف تشعشعی.....
۱۳	۱۳ ۴ ۶ - نتایج شبیه سازی عددی.....
۱۸	۱۸ ۴ - پراکنده ساز های هادی در فضای آزاد.....
۱۸	۱۸ ۴ ۴ - بیان مسئله.....
۱۹	۱۹ ۴ ۴ - تعیین ضرایب NR.....

۱۹.....	۳	۴ - تابع هدف...
۲۰.....	۳	۴ - تابع هدف تشبعی.....
۲۰.....	۳	۵ - نتایج شبیه سازی عددی.....
۲۲.....	۳	۴ - ترکیب پراکنده ساز های دی الکتریک و هادی.....
۲۲.....	۳	۴ - بیان مسئله.....
۲۳.....	۳	۴ - تعیین ضرایب NR.....
۲۴.....	۳	۴ - تابع هدف...
۲۴.....	۳	۴ - تابع هدف تشبعی.....
۲۵.....	۳	۵ - الگوریتم ترکیب یافته SQP-SOM.....
۲۵.....	۳	۴ - نتایج شبیه سازی عددی.....
۲۸.....	۳	۵ - خلاصه و نتیجه گیری.....

فصل چهارم: تصویربرداری از پراکنده سازهای دفن شده

۲۹.....	۴	۴ - پیشگفتار فصل.....
۲۹.....	۴	۴ - پراکنده سازهای دفن شده در محیط ناهمگن.....
۲۹.....	۴	۴ - بیان مسئله.....
۳۴.....	۴	۴ - پراکندگی معکوس با روش SQP-SOM.....
۳۴.....	۴	۴ - نتایج شبیه سازی عددی.....
۴۳.....	۴	۴ - پراکنده ساز های دی الکتریک در محیط چندلایه.....
۴۳.....	۴	۴ - بیان مسئله.....
۴۴.....	۴	۴ - پراکندگی معکوس با روش SQP-SOM.....
۴۴.....	۴	۴ - نتایج شبیه سازی عددی.....
۴۷.....	۴	۴ - پراکنده ساز های هادی در محیط چندلایه.....
۴۷.....	۴	۴ - بیان مسئله.....
۴۸.....	۴	۴ - پراکندگی معکوس با روش SQP-SOM.....
۴۸.....	۴	۴ - نتایج شبیه سازی عددی.....
۵۰.....	۵	۵ - ارزیابی جربان NR و نتیجه گیری.....

فصل پنجم: نتیجه گیری

۵۲.....	۵	۵ - نتیجه گیری.....
۵۲.....	۵	۵ - پیشنهادات.....

۵۴.....		پیوست ها.....
---------	--	---------------

۵۸.....		مراجع.....
---------	--	------------

چکیده

پراکندگی معکوس امواج الکترومغناطیس، مسئله‌ای شامل آشکارسازی، مکان یابی، بازیابی شکل، و تصویربرداری از اجسام مجھول، با استفاده از میدان‌های پراکنده شده و معادلات ماکسول می‌باشد. برای حل مسائل پراکندگی معکوس روش‌های مختلفی وجود دارد که می‌توان آن‌ها را تحت دو عنوان کلی روش‌های کیفی و روش‌های کمی، دسته بندی نمود. در این پایان نامه، بهبود روش بهینه سازی زیرفضا (SOM)، با استفاده از الگوریتم برنامه ریزی متوالی درجه دوم (SQP)، تحت عنوان SQP-SOM، برای پراکندگی معکوس از اجسام دیالکتریک، هادی، و آمیخته، مستقر در محیط‌های مختلف چون فضای آزاد، پس‌زمینه ناهمگن، و محیط چندلایه، به عنوان یک روش بازیابی کمی دقیق و سریع ارائه شده، و اثر جریان‌های غیرتشعشعی (NR) القا شده در پراکنده‌ساز بر فرآیند بازسازی، ارزیابی گردیده است. بدین منظور مسئله پراکندگی مستقیم برای هر مورد با استفاده از یک روش عددی مناسب همچون دوقطبی‌های تزویج شده (CDM)، روش ممان (MoM)، اجزاء محدود- انتگرال مرزی (FE-BI)، و معادلات انتگرالی میدان الکتریکی (EFIE)، رابطه مند و عملگر نگاشت بیرونی (نگاشت از فضای جریان القایی به فضای میدان پراکنده شده بیرونی) متناظر، برای تعیین بردارهای تشعشعی و NR با استفاده از شیوه تجزیه مقدار تکین (SVD)، تحلیل طیفی شده است. برای بسط فضای برداری جریان القایی، ضرایب متناظر با پایه‌های NR، با روند کمترین مرباعات به مؤلفه‌های مجھول پراکنده‌ساز ارتباط داده شده است. تحلیل بیان شده در مورد پراکنده‌ساز آمیخته (مخلوط دیالکتریک و هادی)، برای اولین بار در این پایان نامه ارائه و روابط مربوط به آن استخراج گردیده است. برای بازسازی پراکنده‌ساز‌های مجھول، تابع هدف براساس عدم تطابق در جریان‌های القایی و عدم تطابق در داده‌های پراکندگی تشکیل، و با استفاده از الگوریتم پیشرفت SQP کمینه شده است. همچنین برای ارزیابی اثر جریان‌های NR، تابع هدف تشعشعی با حذف بخش NR جریان القایی، تعریف گردیده است. نتایج بازیابی به دست آمده از روش SQP-SOM، در همه مراحل آشکارسازی، مکان یابی، تعیین شکل و تصویربرداری، موفقیت آمیز بوده است. مقایسه این نتایج با نتایج به دست آمده از تابع هدف تشعشعی نشان می‌دهد، بازسازی جریان NR برای تصویربرداری دقیق از پراکنده‌سازها ضروری می‌باشد.

واژه‌های کلیدی

- ۱- پراکندگی معکوس، ۲- جریان غیرتشعشعی (NR)، ۳- SQP-SOM، ۴- تجزیه مقدار تکین (SVD)،
- ۵- FE-BI، ۶- محیط چندلایه، ۷- تابع هدف تشعشعی.

فصل اول

مقدمه

۱ + - تاریخچه

مسئله معکوس، به معنی طی مسیر از معلوم به علت، سابقه ای طولانی در تاریخ علم دارد. برای مثال، تعیین نیروی گرانش از روی قوانین کپلر توسط نیوتون، و مسئله اشتورم لیوویل معکوس، به ترتیب نمونه هایی از مسائل معکوس در فیزیک و ریاضی می باشند [۱]. در مسئله معکوس با بررسی نتایج محدود، در پی بازیابی و بازسازی علل ناشناخته می باشیم.

امروزه مسائل معکوس در الکترومغناطیس شامل مسائل منبع معکوس، پراکندگی معکوس، و سنتز معکوس، کاربردهای فراوانی یافته اند که از آن جمله می توان به تصویربرداری مایکروویو، ردیابی راداری، سنجش از راه دور، پرتونگاری مقطعي، تشخيص سرطان سینه، زلزله شناسی، تحلیل شکست، ارزیابی غیرمخرب، و سنتز پترن آتن، اشاره نمود.

پراکندگی معکوس امواج الکترومغناطیس، مسئله ای شامل آشکارسازی، مکان یابی، بازیابی شکل، و تصویربرداری از اجسام مجهول، با استفاده از میدان های پراکنده شده و معادلات ماکسول می باشد. برای حل مسائل پراکندگی معکوس روش های مختلفی وجود دارد که می توان آن ها را تحت دو عنوان کلی روش های کیفی و روش های کمی، دسته بندی نمود. روش های کیفی همچون نمونه برداری خطی، عامل بندی^۱، و منابع تکین، در پی تعیین تقریبی شکل و موقعیت پراکنده ساز مجهول، با استفاده از اطلاعات محدودی از مشخصات پراکنده ساز یا محیط دربر گیرنده آن، می باشند [۲]. در روش های کمی، با تعریف یکتابع هدف متناسب با ویژگی های خواسته شده از پراکنده ساز مجهول، و با کمینه نمودن آن با استفاده از روش های بهینه سازی و هموارسازی^۲، پراکنده ساز مجهول بازسازی می شود [۳ و ۴]. امروزه روش های جدیدتر دیگری نیز مطرح شده اند. از جمله روش معکوس زمانی که بر

¹ Factorization

² Regularization

خاصیت هم پاسخی معادلات ماکسول در محیط های تغییرناپذیر با زمان، استوار است [۵]، و یا روش بهینه سازی زیرفضا^۱ (SOM)، که بر اساس تحلیل طیفی ماتریس نگاشت بیرونی (نگاشت از فضای جریان القایی به فضای میدان پراکنده شده بیرونی) و کمینه سازی عدم تطابق در داده های پراکنده^۲ و عدم تطابق در جریان القایی، عمل می کند [۶].

چالش اصلی در حل مسائل پراکنده^۳ معکوس، مشکل بدخیم^۴ بودن آن ها می باشد. این مشکل به دلیل عدم یکتاپی یا عدم وجود، و عدم پایداری جواب است. یک عامل مهم در فقدان یکتاپی جواب، وجود جریان های غیرتشعشعی^۵ (NR) است که میدان آن ها خارج از ناحیه جریان تقابل، صفر می شود و در نتیجه، این جریان ها توسط گیرنده ها قابل اندازه گیری نمی باشند [۷]. با آگاهی از برخی مشخصات ناحیه داخلی، می توان معادله حالت جریان را که رابطه بین جریان تقابل (جریان القایی) و میدان های داخلی را تعیین می کند، تشکیل داد. همچنین با استفاده از اندازه گیری میدان های خارجی می توان معادله داده پراکنده^۶ که مشخص کننده رابطه بین جریان القایی و میدان پراکنده شده بیرونی است را تعریف نمود. با استفاده از این دو معادله و یک روند بازسازی مناسب، توزیع جریان های تشعشعی و NR تعیین و یکتاپی جواب برآورده می شود.

روش بهینه سازی زیرفضا (SOM)، یک روش بازسازی برای حل مسائل پراکنده^۷ معکوس می باشد که بر اساس تجزیه زیرفضاهای تشعشعی و NR، با استفاده از تحلیل مقدار تکین عملگر نگاشت بیرونی، عمل می کند [۸ و ۹]. در این روش برای بسط فضای برداری جریان القایی، ضرایب NR بردارهای تکین به عنوان مجھولات تابع هدف در نظر گرفته شده و با استفاده از یک روش بهینه سازی مناسب مانند روش برگردانی منابع تقابل^۸ (CSI)، تعیین می شوند [۸].

۱۴ - ساختار پایان نامه

در این پایان نامه، روش SOM به وسیله برنامه ریزی متوالی درجه دوم^۹ (SQP)، که یک شیوه سریع و دقیق در بهینه سازی می باشد [۱۰ و ۱۱]، بهبود داده شده و یک روش قدرتمند تحت عنوان SQP-SOM، به منظور حل مسائل پراکنده^{۱۰} معکوس برای پراکنده ساز های دی الکتریک، هادی و آمیخته (ترکیب دی الکتریک و هادی)، مستقر در محیط ها و پس زمینه های گوناگون، ارائه می شود. تجزیه مقادیر تکین عملگر نگاشت بیرونی، برای ترکیب دی الکتریک و هادی، و معادلات مربوط به ضرایب NR و تابع هدف، برای اولین بار ارائه می گردد. هم چنین برای تعیین و ارزیابی اثرات جریان NR، تابع هدف تشعشعی که بدون قسمت NR جریان ساخته شده، تعریف و نتایج به دست آمده از آن با نتایج روش SQP-SOM مقایسه می شود. در فصل دوم، منابع NR، و موضوعات مرتبط با آن

^۱ Subspace optimization method

^۲ Ill-posed

^۳ Nonradiating

^۴ Contrast source inversion

^۵ Sequential quadratic programming

در تئوری میدان، همچون توان راکتیو، کارایی تشعشعی آتن، تصویربرداری، و پوشش لایه دار، مورد مطالعه و بررسی قرار می‌گیرد.

در فصل سوم، روش SQP-SOM، به عنوان یک روش دقیق و سریع عرضه، و برای فضای آزاد پیاده سازی می‌شود. بدین منظور مسائل پراکندگی مستقیم با روش دوقطبی‌های تزویج شده^۱ (CDM)، روش ممان (MoM)، و ترکیب دو روش، به ترتیب برای پراکنده‌سازهای دیالکتریک، هادی، و آمیخته، رابطه مند می‌شود. در فصل چهارم، روش SQP-SOM، برای پراکنده‌سازهای دفن شده در محیط‌های مختلف، اصلاح می‌شود. روابط مسائل پراکندگی مستقیم برای محیط ناهمگن با روش اجزاء محدود-انتگرال مرزی^۲ (FE-BI)، و برای محیط چندلایه^۳ با روش معادلات انتگرالی میدان الکتریکی^۴ (EFIE)، به دست می‌آید. هم چنین در این فصل اثرات جریان NR، روی نتایج تصویربرداری برای اجسام مختلف، مستقر در پس زمینه‌های متفاوت ارزیابی و جدول بندی می‌شود. نتیجه گیری از دست آوردهای پایان نامه، و پیشنهاد برای مراحل بعدی در فصل پنجم آورده شده است.

¹ Coupled dipole method

² Finite element-boundary integral

³ Stratified media

⁴ Electric field integral equation

فصل دوم

منابع

غیر تشعشعی

۲ - پیشگفتار فصل

جريان های NR در فضای پوچ ماتریس نگاشت بیرونی قرار دارد، از این رو میدان تولید شده توسط این جريان ها در بیرون ناحیه جريان صفر شده، و توسط گیرنده ها، قابل اندازه گیری نیست. به اين ترتيب بافرض تقسيم منع جريان به دو بخش تشعشعی و NR، تنها بخش تشعشعی جريان توسط داده های اندازه گيری و روابط تشعشعی، قابل تعين است. از آنجا که در حل مسئله پراکندگی معکوس، بخش NR جريان القایي اطلاعات مهمی از ساختار پراکنده ساز در بردارد، برای بازسازی دقیق پراکنده ساز مجهول، ضروری است بخش NR جريان القایي، به طور يكتا تعین شود. برای حل چالش يكتاپی، نياز به اطلاعات اوليه از محیط درونی جريان، و تشکیل معادله حالت جريان بر اساس آن، می باشد. به اين ترتيب می توان بخش NR منع را بر اساس کمينه سازی عدم تطابق در جريان القایي و عدم تطابق در داده های پراکندگی، در يك روند تكرار، به طور يكتا، بازسازی نمود.

۲ - شرط NR

از نظریه جريان های NR [V] می دانیم، میدان الکتریکی $\mathbf{E}(\mathbf{r}, t) = \mathcal{R}\{\mathbf{E}(\mathbf{r})e^{j\omega t}\}$ ، تولید شده توسط توزيع جريان NR به فرم $\mathbf{I}(\mathbf{r}, t) = \mathcal{R}\{\mathbf{I}(\mathbf{r})e^{j\omega t}\}$ در بیرون ناحیه جريان صفر شده و در رابطه زير صدق می کند:

$$\mathbf{I}(\mathbf{r}) = \frac{-1}{4\pi j} \left(\frac{c}{k} \right) \{ \nabla \times [\nabla \times \mathbf{E}(\mathbf{r})] - k^2 \mathbf{E}(\mathbf{r}) \} \quad (1-2)$$

که در آن k عدد موج فضای آزاد، و c سرعت نور در خلأ را نشان می دهدن. با توجه به اينگه میدان NR در بیرون ناحیه جريان صفر می شود، داشتن اطلاعات اوليه از درون ناحیه جريان، برای بازيابي جريان NR در حل مسئله منع

معکوس ضروری است. به همین ترتیب، برای تشکیل معادله حالت، در حل مسئله پراکندگی معکوس، داشتن اطلاعات اولیه از دامنه استقرار پراکنده ساز، لازم می باشد.

۲ - عدم یکتایی در مسائل معکوس

جريان های NR در فضای پوچ ماتریس نگاشت بیرونی $\overline{\overline{G}}_S^d$ ، که جريان القایی \bar{I}^d را به میدان پراکنده شده بیرونی \bar{E}^{sca} می نگارد، قرار دارد. بنابراین با اضافه شدن یک جريان NR به توزيع جريان، تغییری در بردار ایجاد نمی شود، به عبارت دیگر

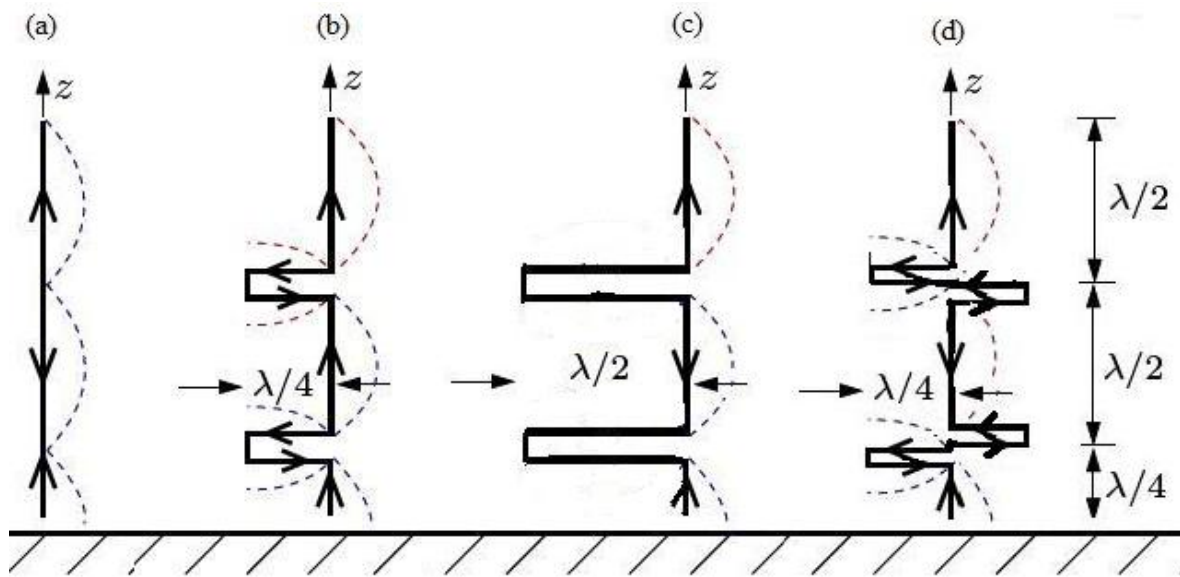
$$\overline{\overline{G}}_S^d \cdot \bar{I}^d = \bar{E}^{sca} \xrightarrow{\overline{\overline{G}}_S^d \cdot \bar{I}^{NR} = \bar{0}} \overline{\overline{G}}_S^d \cdot (\bar{I}^d + \bar{I}^{NR}) = \bar{E}^{sca} \quad (2-2)$$

بنابراین بدون داشتن اطلاعات اولیه درباره ای ناحیه درون جريان، نمی توان بخشن NR توزيع جريان را به طور یکتا بازسازی نمود.

در ادامه به طور اجمالی به برخی از موضوعات مرتبط با نظریه جريان های غیر تشعشعی، و کاربرد های آن در مهندسی میدان های الکترومغناطیسی، اشاره می کنیم.

۲ - توان راکتیو و کارایی تشعشعی آنتن

برای هر توزيع جريان و میدان آن می توان مؤلفه های تشعشعی (یا انرژی کمینه) و NR را به طور یکتا تجزیه نمود [۱۲ و ۱۳]. بخشن NR جريان، میدان تشعشعی ایجاد نکرده و توان تولیدی آن، راکتیو خالص است، بنابراین می توان با اضافه نمودن یک توزيع NR مناسب به جريان اولیه داده شده، توان راکتیو را کمینه و کارایی تشعشعی آنتن را بهبود بخشید. چند نمونه ساده از توزيع های NR اضافه شده به یک منبع داده شده در حالت یک بعدی، در شکل ۲-۱ به نمایش در آمده اند. در شکل ۲-۱(b)، جريان های NR اضافه شده (دو استاب $\frac{\lambda}{4}$)، دایرکتیویتی آنتن را تغییر و کارایی تشعشعی آن را در راستای افق بهبود می بخشد. شکل های ۲-۱(c) و ۲-۱(d)، به ترتیب با استفاده از دو استاب $\frac{\lambda}{2}$ و چهار استاب $\frac{\lambda}{4}$ ، توزيع های NR را به منبع اولیه اضافه می کنند، به گونه ای که توان راکتیو آنتن تغییر کرده ولی پترن تشعشعی آن ثابت بماند.



شکل ۱-۲: مثال هایی ساده از توزیع جریان های NR اضافه شده به یک منبع اولیه؛ (a) منبع داده شده، (b) اضافه کردن توزیع های NR به وسیله دو استاب $\frac{\lambda}{4}$ ، به منظور افزایش کارایی تشعشعی آتن از طریق تغییر توزیع جریان تشعشعی آن، (c) اضافه کردن جریان های NR توسط دو استاب $\frac{\lambda}{2}$ ، به منظور تغییر توان راکتیو آتن، بدون تاثیرگذاری روی پترن تشعشعی (d) اضافه کردن توزیع های NR، توسط چهار استاب $\frac{\lambda}{4}$ ، به منظور تغییر توان راکتیو، بدون تاثیرگذاری روی پترن تشعشعی آتن.

۲ - تصویربرداری از لبه نوک‌تیز^۱

برای تصویربرداری و پراکندگی معکوس از اجسام لبه‌دار و نوک‌تیز، بازسازی قسمت NR جریان که در بردارندۀ اطلاعات لبه های NR می باشد [۱۴]، ضروری است. بدین منظور ابتدا بایستی مسئله پراکندگی مستقیم را با یک روش مناسب بر اساس نظریه تفرق امواج، فرمول بندي نموده، و سپس با پیاده سازی یک شیوه ی مناسب برای تجزیه تشعشعی-NR جریان، تابع هدف را تشکیل و ضرایب بسط پایه های NR فضای جریان را از طریق یک روند بهینه‌سازی، بازیابی کنیم.

۳ - پوشش لایه دار^۲

پوشش لایه دار و مواد جاذب امواج الکترومغناطیس، کاربردهای فراوانی در تکنولوژی رادارگریز^۳، و مقابله با آشکارسازی رادارها، دارد. یک رویکرد جدید برای طراحی پوشش لایه دار به منظور جذب امواج الکترومغناطیس برای پوشاندن پراکنده‌سازها، بیشینه سازی بخش NR جریان القایی است، که ممکن است از طریق شکل دهی و طراحی لایه دار مواد، انجام پذیر باشد.

¹ Sharp-sighted imaging

² Layered coating

³ Stealth technology

۲ - خلاصه و نتیجه گیری

در این فصل با مرور نظریه جریان‌های NR، به معرفی کاربرد آن در نظریه میدان، از جمله سنتر آتن، تصویربرداری از لبه نوک‌تیز، و پوشش لایه دار پرداخته، و نیز ارتباط جریان‌های NR با مسئله پراکندگی معکوس و چالش یکتایی را بررسی نمودیم. در فصل بعدی به حل مسئله پراکندگی معکوس برای پراکنده‌سازهای دی‌الکتریک، هادی، و آمیخته، و نحوه اثرگذاری جریان القایی NR در روند بازسازی، خواهیم پرداخت.

فصل سوم

روش SQP-SOM برای مسائل پراکندگی معکوس

حل مسائل پراکندگی معکوس

۳ - پیشگفتار فصل

بازسازی جریان‌های NR، برای آشکارسازی مشخصات مجھول در مسائل منبع معکوس [۱۲]، و بهبود قدرت تفکیک در مسائل پراکندگی معکوس [۱۵]، نقش مهمی دارد. جریان‌های NR در فضای پوچ عملگر نگاشت بیرونی قرار گرفته و میدان‌های آن‌ها خارج ناحیه جریان صفر می‌شوند [۷]، بنابراین این جریان‌ها از طریق اندازی گیری قابل محاسبه نیستند. در مسئله پراکندگی معکوس اندازه گیری‌های پیوسته یک فضای پیوسته از میدان پراکندگی تشکیل می‌دهد و تعداد نامحدودی از جریان‌های NR متناظر با آن وجود دارد، اما در اندازه گیری‌های گستته تعداد محدودی از توابع پایه برای بسط زیر فضاهای تشعشعی و NR فضای جریان القایی وجود دارد [۸].

در [۱۵] به منظور تعیین جریان‌های NR برای سیستم‌های تصویربرداری، پراکندگی معکوس به عنوان یک مسئله منبع معکوس در نظر گرفته شده است. در روش SOM [۸] و [۱۶-۱۸]، بسط جریان‌های تشعشعی و NR با روش تجزیه مقدار تکین^۱ (SVD) عملگر نگاشت بیرونی (پیوست ۱)، انجام می‌شود، سپس تابع هدف که در بردارنده عدم تطابق در داده‌های پراکندگی و عدم تطابق در جریان القایی است، تشکیل و با روش CSI کمینه می‌شود.

در این فصل روش SOM با استفاده از SQP که یک شیوه بهینه‌سازی پیشرفته و سریع برای توابع هدف درجه دوم^۲ می‌باشد (پیوست ۲)، بهبود داده شده است. در روش بهبود یافته، به منظور کاهش مجھولات تابع هدف و افزایش سرعت روند بازسازی، بردار NR که در بردارنده ضرایب بسط بردارهای تکین NR می‌باشد، با استفاده از روش

¹ Singular value decomposition

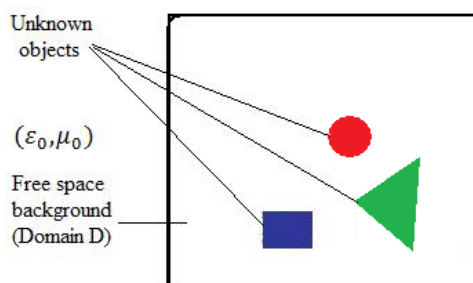
² Quadratic

کمترین مربعات^۱ (LS) محاسبه می شود. هم چنین در بخش ۳-۴، روابط مربوط به پراکندهسازهای آمیخته (ترکیب دیالکتریک و هادی) برای اولین بار استخراج، و الگوریتم SQP-SOM برای آن پیاده سازی می شود. اثر جریان NR برای هر مورد، با استفاده از تعریف توابع هدف تشعشعی و NR، و مقایسه نتایج آنها، تعیین می گردد.

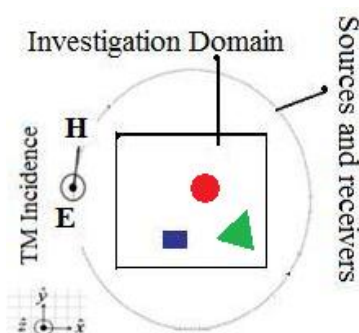
۳-۴-۲- پراکندهسازهای دیالکتریک در فضای آزاد

۳-۴-۳- بیان مسئله

تعدادی استوانه دیالکتریک ناشناخته، مستقر در پس زمینه فضای آزاد (دامنه D)، مشابه شکل ۳-۱ در نظر بگیرید. فرض کنید آرایه ای دایره ای از آتن ها که حول D قرار گرفته امواج TM^Z را ارسال و میدان های پراکنده شده متناظر را دریافت می کند (شکل ۳-۲). با تقسیم D به زیر نواحی گستته، و استفاده از روش CDM برای رابطه مند کردن مسئله پراکندهگی مستقیم، معادله حالت جریان (رابطه ۳-۱) و معادله داده پراکندهگی (رابطه ۳-۲) که به ترتیب رابطه بین جریان القایی و میدان داخلی، و رابطه جریان القایی و میدان پراکنده شده بیرونی را تعیین می کنند، به دست می آیند [۸].



شکل ۳-۱: استوانه های دیالکتریک ناشناخته مستقر در فضای آزاد



شکل ۳-۲: موقعیت قرارگیری آتن های گیرنده و فرستنده

^۱ Least squares

$$\mathbf{E}^{tot}(\mathbf{r}_m) = \mathbf{E}^{inc}(\mathbf{r}_m) - \sum_{n \neq m} j k_0 \eta_0 g(\mathbf{r}_m, \mathbf{r}_n) \mathbf{I}^d(\mathbf{r}_n), \quad m = 1, 2, \dots, N_d. \quad (1-3)$$

$$\mathbf{E}^{sca}(\mathbf{r}_s^c) = \sum_{m=1}^{N_d} -j k_0 \eta_0 g(\mathbf{r}_s^c, \mathbf{r}_m) \mathbf{I}^d(\mathbf{r}_m), \quad s = 1, 2, \dots, N_r. \quad (2-3)$$

که در آن، $\hat{\mathbf{z}}$ ، $\mathbf{I}^d(\mathbf{r}_m) = I^d(\mathbf{r}_m)\hat{\mathbf{z}}$ ، و $\mathbf{E}^{tot}(\mathbf{r}_m) = E^{tot}(\mathbf{r}_m)\hat{\mathbf{z}}$ ، $\mathbf{E}^{inc}(\mathbf{r}_m) = E^{inc}(\mathbf{r}_m)\hat{\mathbf{z}}$ ، به ترتیب میدان تابشی، میدان داخلی کل، و جریان القایی در زیرناحیه m دامنه D را نشان می‌دهند. و نیز $\mathbf{E}^{sca}(\mathbf{r}_s^c)\hat{\mathbf{z}}$ ، میدان پراکنده شده در محل گیرنده s ام را نمایش می‌دهد. بردارهای $\hat{\mathbf{z}}$ ، \mathbf{r}_m و \mathbf{r}_s^c به ترتیب بردار یکه در جهت Z ، بردار مکان زیرناحیه m ام، و بردار مکان گیرنده s ام را مشخص می‌کنند. N_d تعداد کل زیرناحیه ها و N_r تعداد آنتن های گیرنده را تعیین می‌کند. همچنین $(\mathbf{r}_m, \mathbf{r}_n) = \frac{-j}{4} H_0^{(2)}(k_0 | \mathbf{r}_m - \mathbf{r}_n |)$ برای $g(\mathbf{r}_m, \mathbf{r}_n)$ به ترتیب تابع گرین دو بعدی، عدد موج و امپدانس ذاتی را در فضای آزاد نشان می‌دهند.

با استفاده از رابطه $A_m = -j(k_0/\eta_0)A_m[\varepsilon_r(\mathbf{r}_m) - 1]$ که در آن $I^d(\mathbf{r}_m) = \xi_m E^{tot}(\mathbf{r}_m)$ و $A_m = -j(k_0/\eta_0)A_m[\varepsilon_r(\mathbf{r}_m) - 1]$ ، به ترتیب مساحت و ثابت دی الکتریک زیرناحیه m ام را نمایش می‌دهد، فرم های ماتریسی روابط (۱-۳) و (۲-۳) به صورت زیر بیان می‌شود [۸]:

$$\bar{I}^d = \bar{\xi} \cdot (\bar{E}^{inc} + \bar{G}_D^S \bar{I}^d) \quad (3-3)$$

$$\bar{E}^{sca} = \bar{G}_S^S \bar{I}^d \quad (4-3)$$

که در آن، $\bar{\xi}$ یک ماتریس قطری با تعداد N_d عنصر روی قطر برابر با ξ_m می‌باشد. بردارهای N_d بعدی \bar{I}^d و \bar{E}^{inc} ، به ترتیب جریان القایی و میدان تابشی در N_d زیر ناحیه D را نشان داده و با روابط $\bar{E}^{inc} = [E^{inc}(\mathbf{r}_1), E^{inc}(\mathbf{r}_2), \dots, E^{inc}(\mathbf{r}_{N_d})]^T$ ، $\bar{I}^d = [I^d(\mathbf{r}_1), I^d(\mathbf{r}_2), \dots, I^d(\mathbf{r}_{N_d})]^T$ تعیین می‌شوند. عناصر ماتریس نگاشت درونی (نگاشت از فضای جریان القایی به فضای میدان پراکنده شده درونی)، \bar{G}_D^S ، با رابطه $\bar{G}_D^S(m, n) = -j k_0 \eta_0 g(\mathbf{r}_m, \mathbf{r}_n)$ محاسبه می‌شوند. همچنین، $\bar{G}_S^S(m, n) = -j k_0 \eta_0 g(\mathbf{r}_s^c, \mathbf{r}_m)$ با ابعاد $N_r \times N_d$ و $\bar{G}_S^S(s, m) = -j k_0 \eta_0 g(\mathbf{r}_s^c, \mathbf{r}_m)$ قابل تعیین است.

۳-۴-۴ - تحلیل طیفی ماتریس \bar{G}_S^S با روش SVD

با استفاده از تحلیل SVD (پیوست ۱) ماتریس نگاشت بیرونی \bar{G}_S^S داریم: $\bar{G}_S^S = \sum_m \bar{u}_m \sigma_m \bar{v}_m^*$ ، و $\bar{v}_m = \sum_m \bar{u}_m \sigma_m \bar{v}_m^*$. برای $m = 1, 2, \dots, N_d$. به طوری که σ_m ها مقادیر تکین \bar{G}_S^S ها بردارهای پایه N_d بعدی در فضای جریان القایی، و \bar{u}_m ها بردارهای پایه N_r بعدی در فضای داده پراکنده هستند. همچنین عملگر مزدوج ترانهاده را نمایش می‌دهد. تعداد L_0 مقدار تکین غیر صفر و $N_d - L_0$ مقدار تکین صفر وجود دارند که در یک روند غیرافراشی به صورت زیر مرتب می‌شوند:

$$\sigma_1 \geq \sigma_2 \geq \dots \geq \sigma_{L_0} > \sigma_{L_0+1} = \sigma_{L_0+2} = \dots = \sigma_{N_d} = 0 \quad (5-3)$$

با استفاده از مقادیر تکین صفر و غیرصفر و بردارهای تکین متناظر آن ها در فضای جریان القایی، زیرفضاهای تشعشعی و NR فضای جریان القایی به صورت زیر بیان می شوند [۸]:

$$\bar{I}^R = \sum_{j=1}^{L_0} \frac{\bar{u}_j^* \cdot \bar{E}^{sca}}{\sigma_j} \bar{v}_j \quad \text{زیرفضای تشعشعی} \quad (6-۳)$$

$$\bar{I}^{NR} = \sum_{j=1}^{N_d - L_0} \alpha_j^{NR} \bar{v}_{j+L} = \bar{V}^{NR} \cdot \bar{\alpha}^{NR} \quad \text{زیرفضای غیرتشعشعی} \quad (7-۳)$$

که در آن α_j^{NR} ضرایب NR را نشان داده و با روند LS تعیین خواهد شد. با استفاده از (۶-۳) و (۷-۳)، برای جریان القایی (\bar{I}^d) کل داریم:

$$\bar{I}^d = \bar{I}^R + \bar{I}^{NR} \quad (8-۳)$$

در رابطه (۸-۳)، زیرفضای تشعشعی را نشان می دهد به طوری که $\bar{G}_S \cdot \bar{I}^R = \bar{E}^{sca}$ و $\bar{G}_S \cdot \bar{I}^{NR} = 0$ زیرفضای NR را مشخص می کند به طوری که $\bar{G}_S \cdot \bar{I}^d = 0$.

۴-۴-۳ - تعیین ضرایب NR

با استفاده از روابط (۳-۳)، (۷-۳) و (۸-۳)، می توان بردار $N_d - L_0$ بعدی $\bar{\alpha}^{NR}$ شامل ضرایب α_j^{NR} را به صورت زیر بیان نمود:

$$\bar{A} \cdot \bar{\alpha}^{NR} = \bar{B} \quad (9-۳)$$

که در آن $\bar{A} = [\bar{\xi} \cdot (\bar{E}^{inc} + \bar{G}_D \cdot \bar{I}^R) - \bar{I}^R]$ و $\bar{B} = [\bar{V}^{NR} - \bar{\xi} \cdot (\bar{G}_D \cdot \bar{V}^{NR})]$ داریم LS روش کارگیری با به کار گیری روش:

$$(\bar{A}^* \cdot \bar{A}) \cdot \bar{\alpha}^{NR} = \bar{A}^* \cdot \bar{B} \Rightarrow \bar{\alpha}^{NR} = (\bar{A}^* \cdot \bar{A})^{-1} \cdot (\bar{A}^* \cdot \bar{B}) \quad (10-۳)$$

۴-۴-۴ - قابع هدف

از عدم تطابق در داده های پراکندگی و عدم تطابق در جریان القایی، روابط (۱۱-۳) و (۱۲-۳) به صورت زیر به دست می آید [۸]:

$$\Delta^{dat} = \| \bar{G}_S \cdot \bar{V}^{NR} \cdot \bar{\alpha}^{NR} + \bar{G}_S \cdot \bar{I}^R - \bar{E}^{sca} \|^2 \quad (11-۳)$$

$$\Delta^{sta} = \| \bar{A} \cdot \bar{\alpha}^{NR} - \bar{B} \|^2 \quad (12-۳)$$

که در آن $\| . \|$ نشان دهنده فاصله اقلیدسی می باشد. قابع هدف برای مسئله پراکندگی معکوس به صورت رابطه (۱۳-۳) تعریف می شود: